



micro-TPCを用いた MeVガンマ線検出器の開発XII

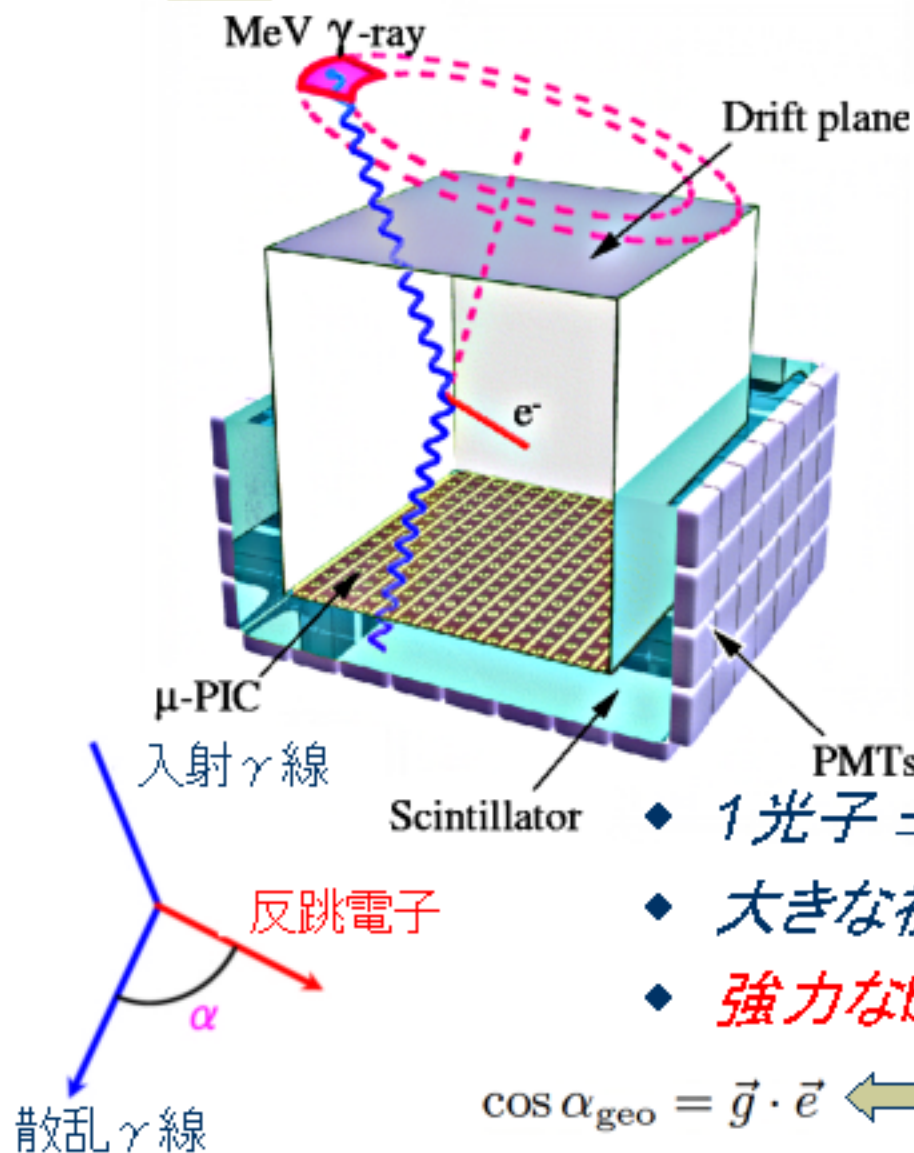
京都大学 高田淳史

谷森達, 窪秀利, 身内賢太朗, 土屋兼一,
株木重人, 岡田葉子, 西村広展,
服部香里, 上野一樹

- ◆ MeV- γ カメラ
- ◆ Xe-based TPC
- ◆ 回路系の改良
- ◆ まとめ



Advanced Compton Imaging



- micro-TPC (μ -PIC)
反跳電子の飛跡とenergy
- Scintillator
散乱 γ 線の吸収点の位置
とenergy

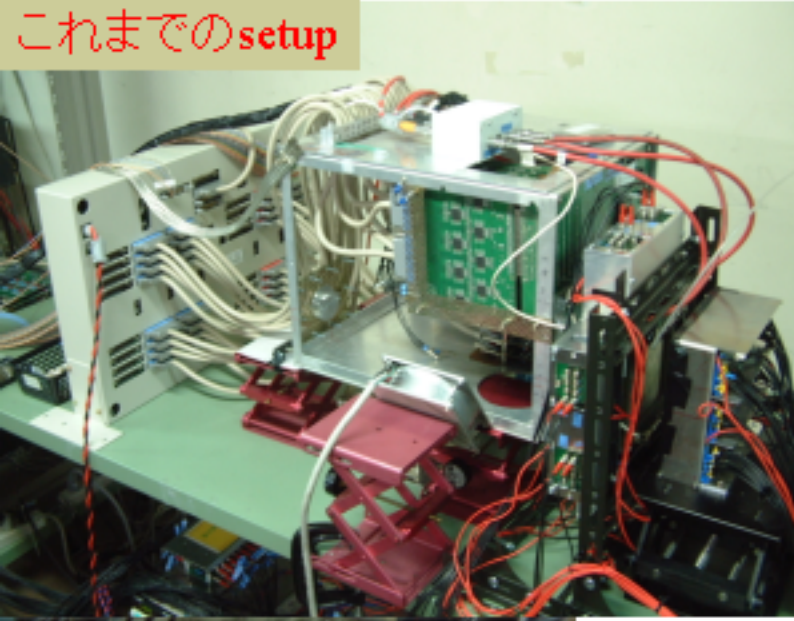
光子毎にCompton散乱を再現

- ◆ 1光子 ⇒ 到来方向 + energy
- ◆ 大きな視野 (~3str)
- ◆ 強力なbackground除去能力

$$\cos \alpha_{\text{geo}} = \vec{g} \cdot \vec{e} \iff \cos \alpha_{\text{kin}} = \left(1 - \frac{m_e c^2}{E_\gamma}\right) \sqrt{\frac{K_e}{K_e + 2m_e c^2}}$$

気球実験計画

これまでのsetup



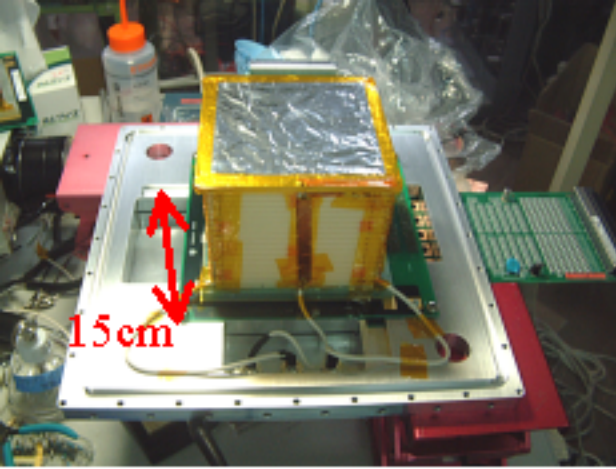
HV controller

検出器を気球に搭載し
diffuse gammaを測定する実験を計画中

- これまでのsetup
 - ▶ 地上実験を前提
 - ▶ 大掛かりなシステム
 - NIMピン×3, VMEピン, HV controller
in 19 inch rack

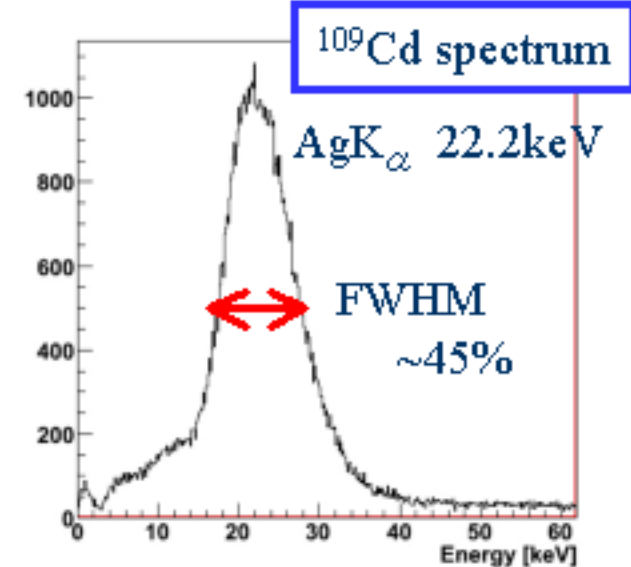
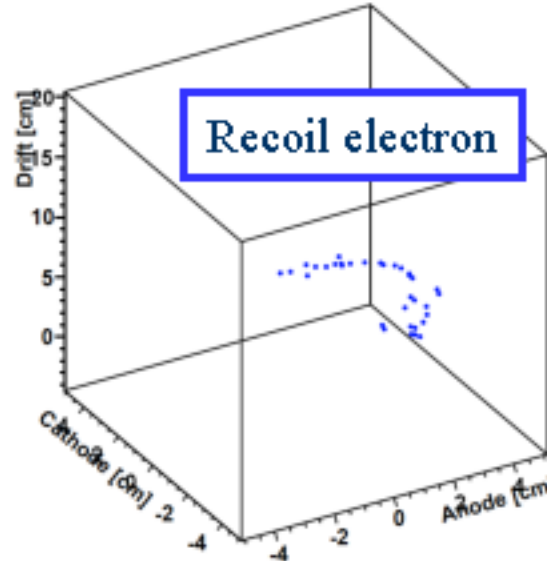
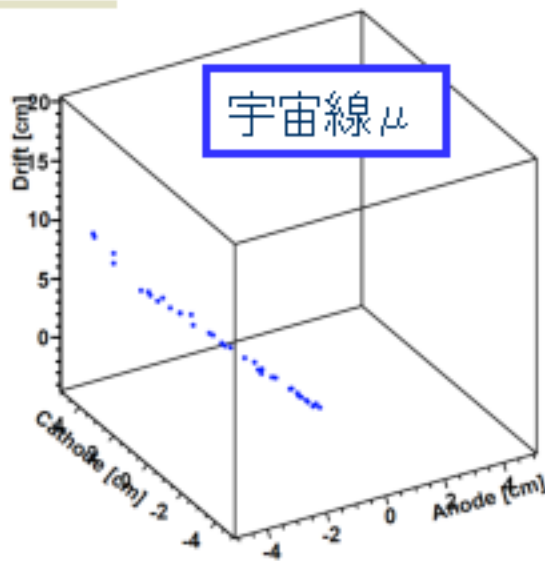


- 気球実験に向けた改良
 - ▶ 性能を落とさず、コンパクト化
 - ⇒ 読み出し回路・HVの開発
 - ▶ 検出効率の向上
 - ⇒ Xe-base TPC



Xe-based TPC

- Gas : Xe 80% + Ar 18% + C₂H₆ 2%
- Gain : ~30000 (μ PIC 3000 \times GEM 10)
- Drift速度 ($V_d=400\text{V/cm}$) : 実測 2.5cm/ μ sec simulation 2.48cm/ μ sec
- Volume : $10 \times 10 \times 15\text{ cm}^3$
- Sealed gas package



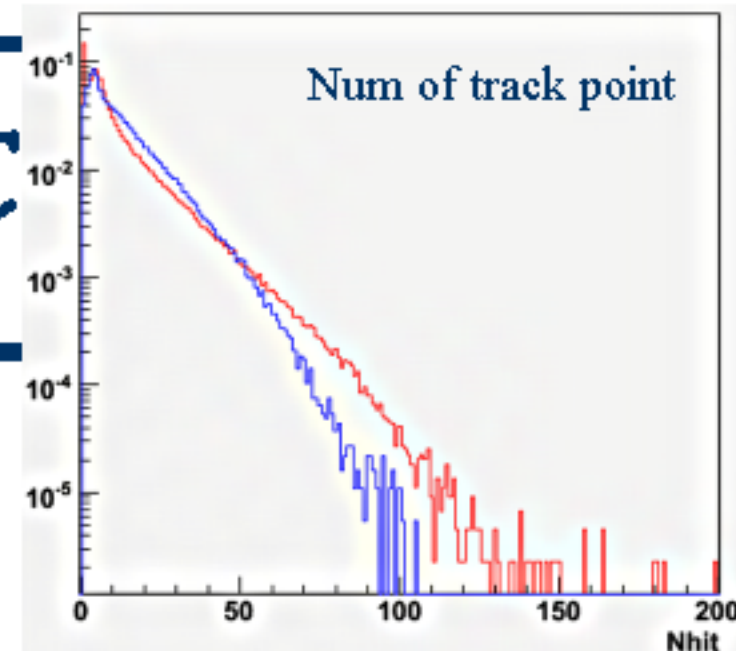
Ar-TPC vs. Xe-TPC

- ◆ Ar 90% + C₂H₆ 10% (従来)

$\rho = 1.73 \text{ mg/cm}^3$

dE/dX = 2.76 keV/cm (MIP)

Avr. Z = 18.52

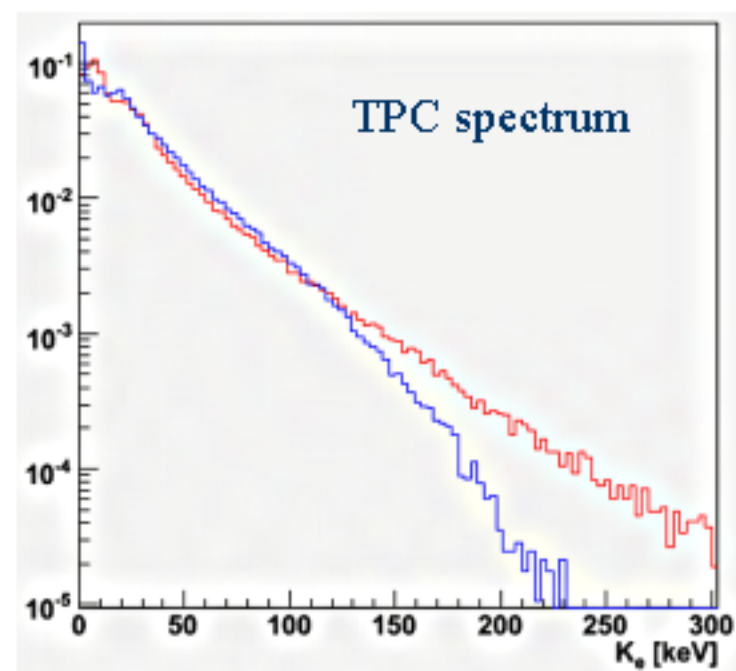


- ◆ Xe 80% + Ar 18% + C₂H₆ 2%

$\rho = 3.97 \text{ mg/cm}^3$

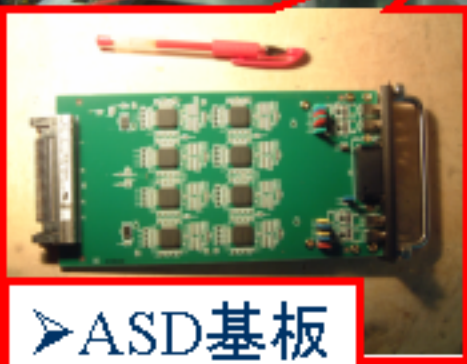
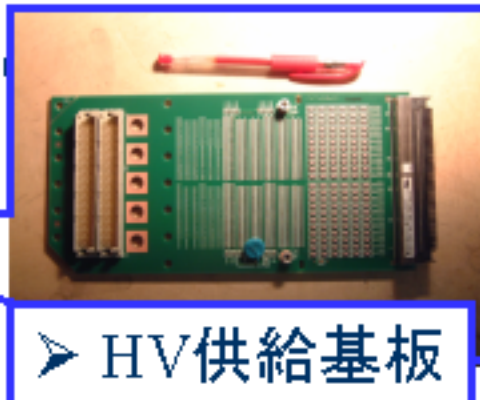
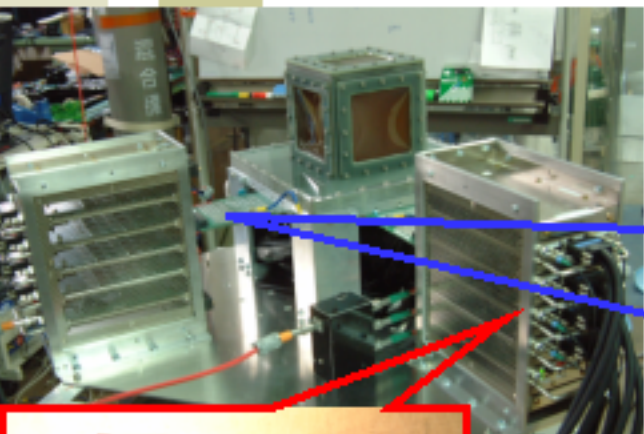
dE/dX = 5.27 keV/cm (MIP)

Avr. Z = 37.49

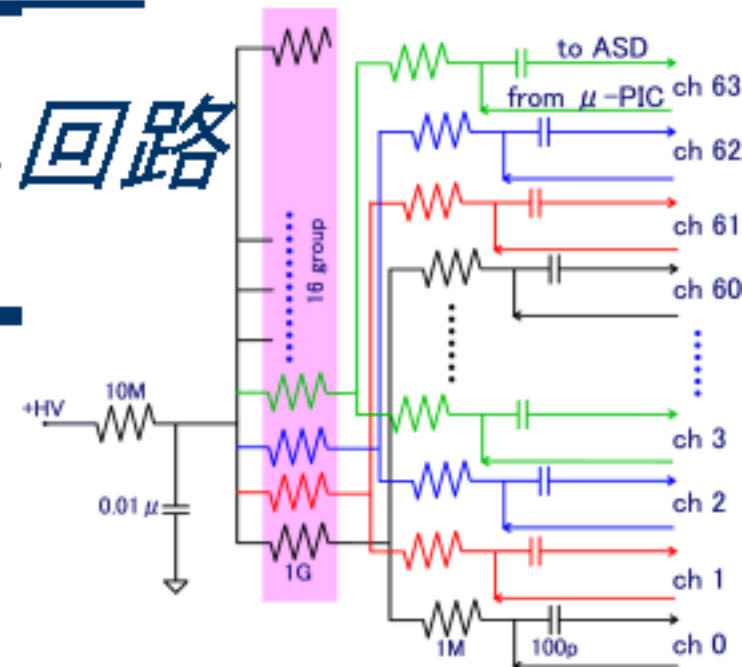


より多くの点を
より高いenergyの電子まで

micro-TPC 読み出し回路

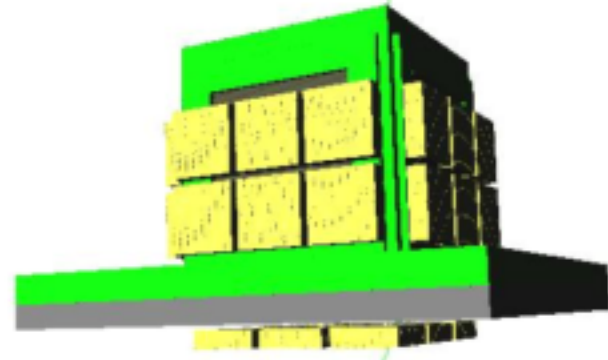


- 各chのdiscr. hit(LVDS) + 32ch sum analog out × 2
- 64ch/board
- ASD chip (ATLAS実験, $\tau = 16\text{nsec}$)



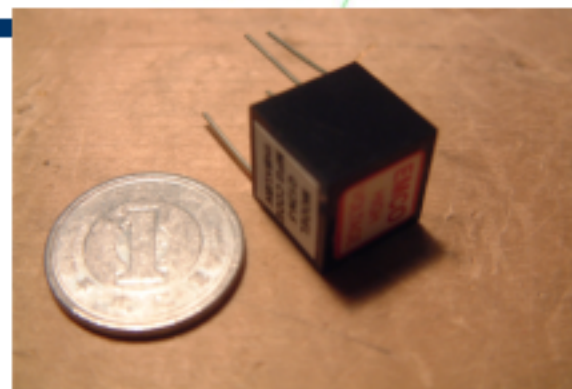
- 4本おきに16 chをまとめて1 group
 - group間は $1\text{G}\Omega$ の抵抗で並列に接続
 - group内は $1\text{M}\Omega$ の抵抗を介してHVをstripに供給
 - ➡ どこかの1 pixelで導通が起きたとき
 - 導通箇所を含むgroupは電流が流れHVが落ちる
 - それ以外のgroupは関係なく動作
- ⇒ 導通が起きても有効面積は減らない

HV systemの開発



PMT: 浜松ホトニクス H8500 33個

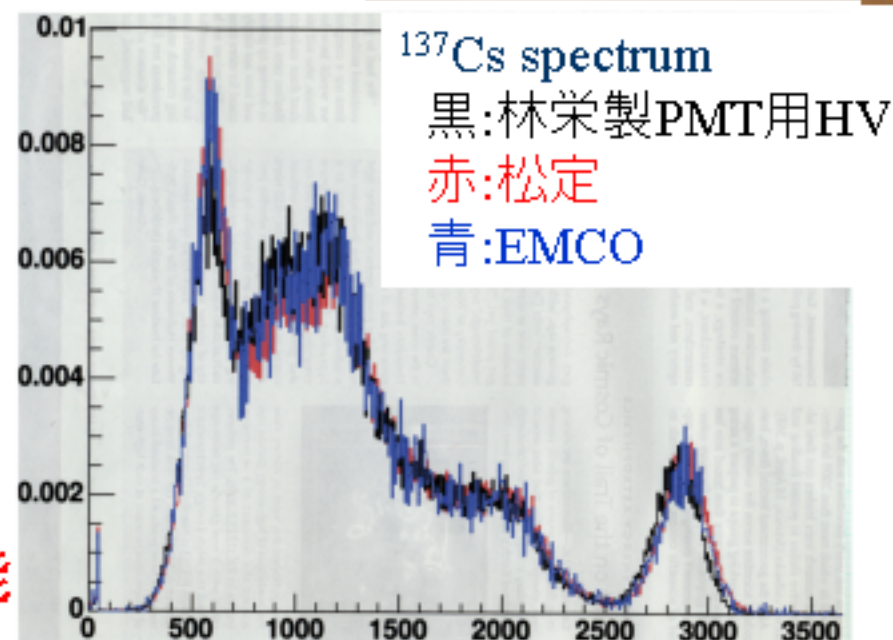
HV <1100V, current ~180 μ A



EMCO DC/HV converter Q12N-5

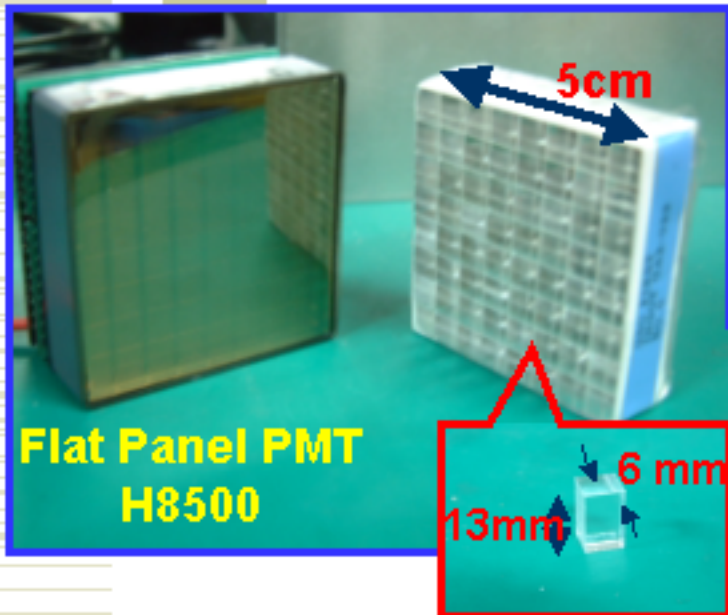
- 電源入力: 0~5V (<175mA)
- 出力: 0~1200V (<400 μ A)
- Ripple : <0.25%
- 変換効率 : ~60%
- 重量 : 4.25g
- 体積 : 1.27×1.27×1.27mm³
- 動作温度 : -25~70°C

Scintillatorのenergy分解能に劣化は見られず、置き換え可能

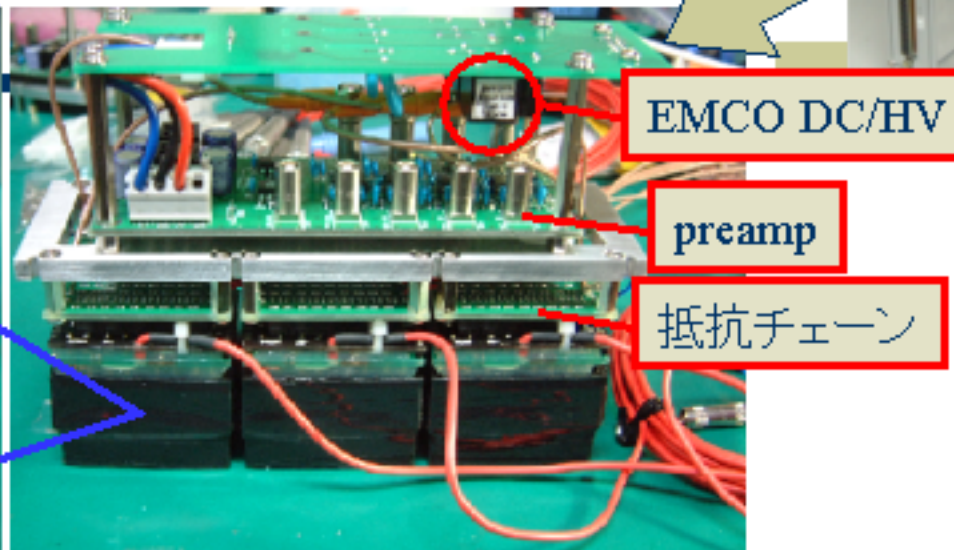


40ch DAC

Scintillatorのunit化



Flat Panel PMT
H8500



EMCO DC/HV

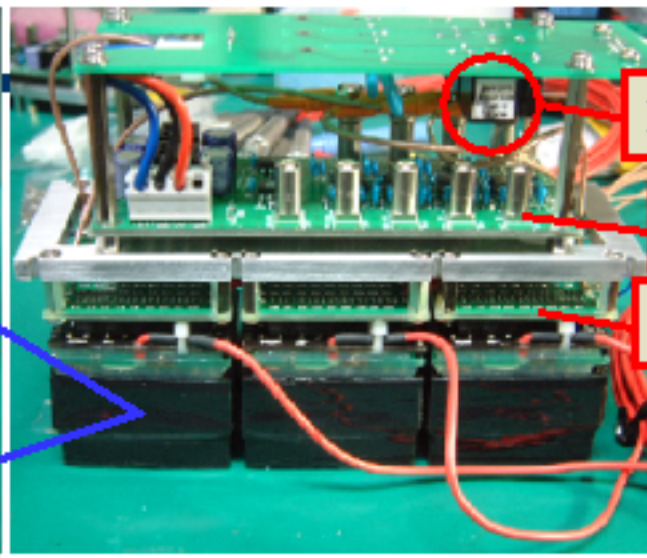
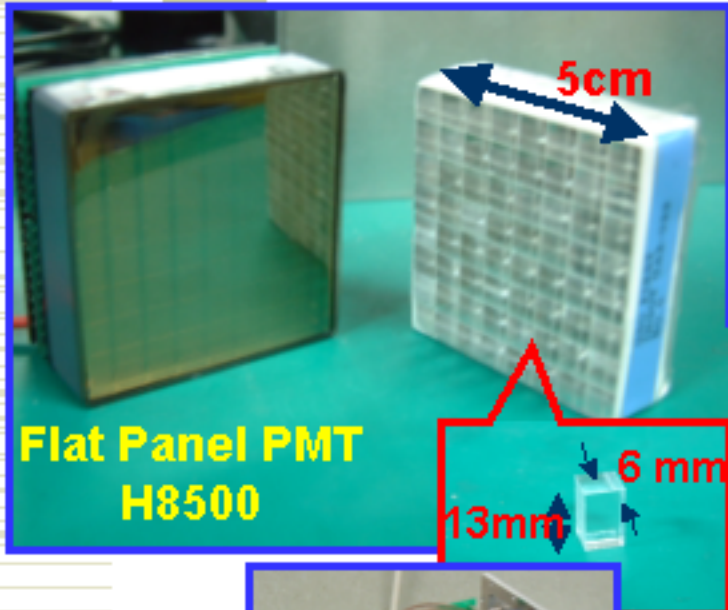
preamp

抵抗チェーン

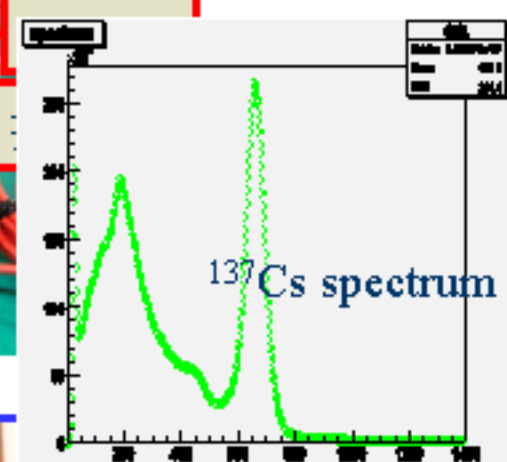
- PMT3つを1 setとし、HV・preampと一緒にunit化
- HVはDACで調節し、個々のPMTに別々に供給
- DACはパラレルポートからCPUで制御
- 読み出しありは抵抗分割により192pixel/4ch (関谷 2004秋物理学会)

40ch DAC

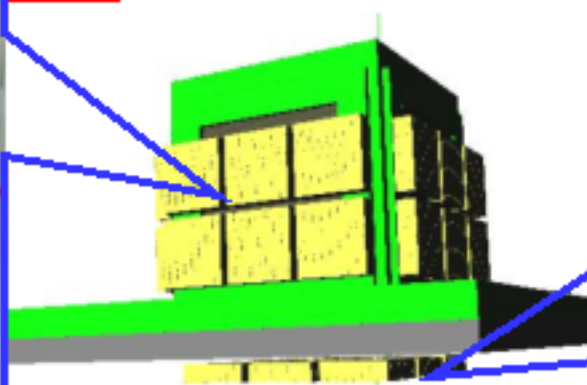
Scintillatorのunit化



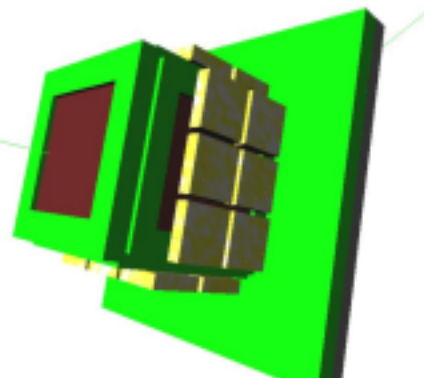
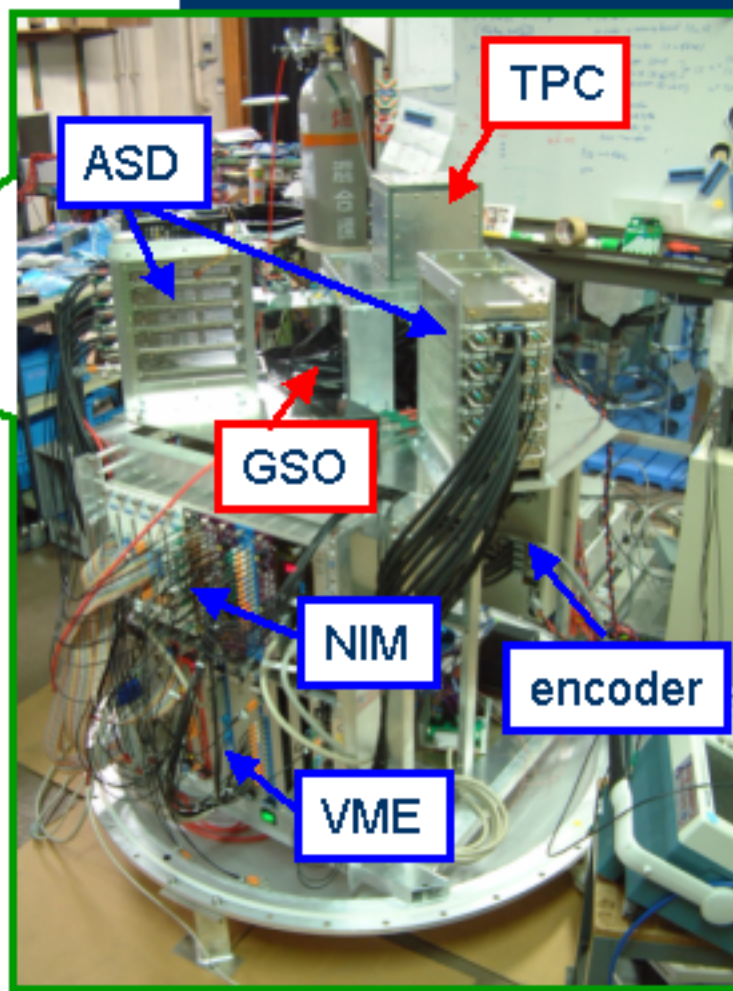
EMCO DC/HV



- PM
- HV
- DA
- 読み出し



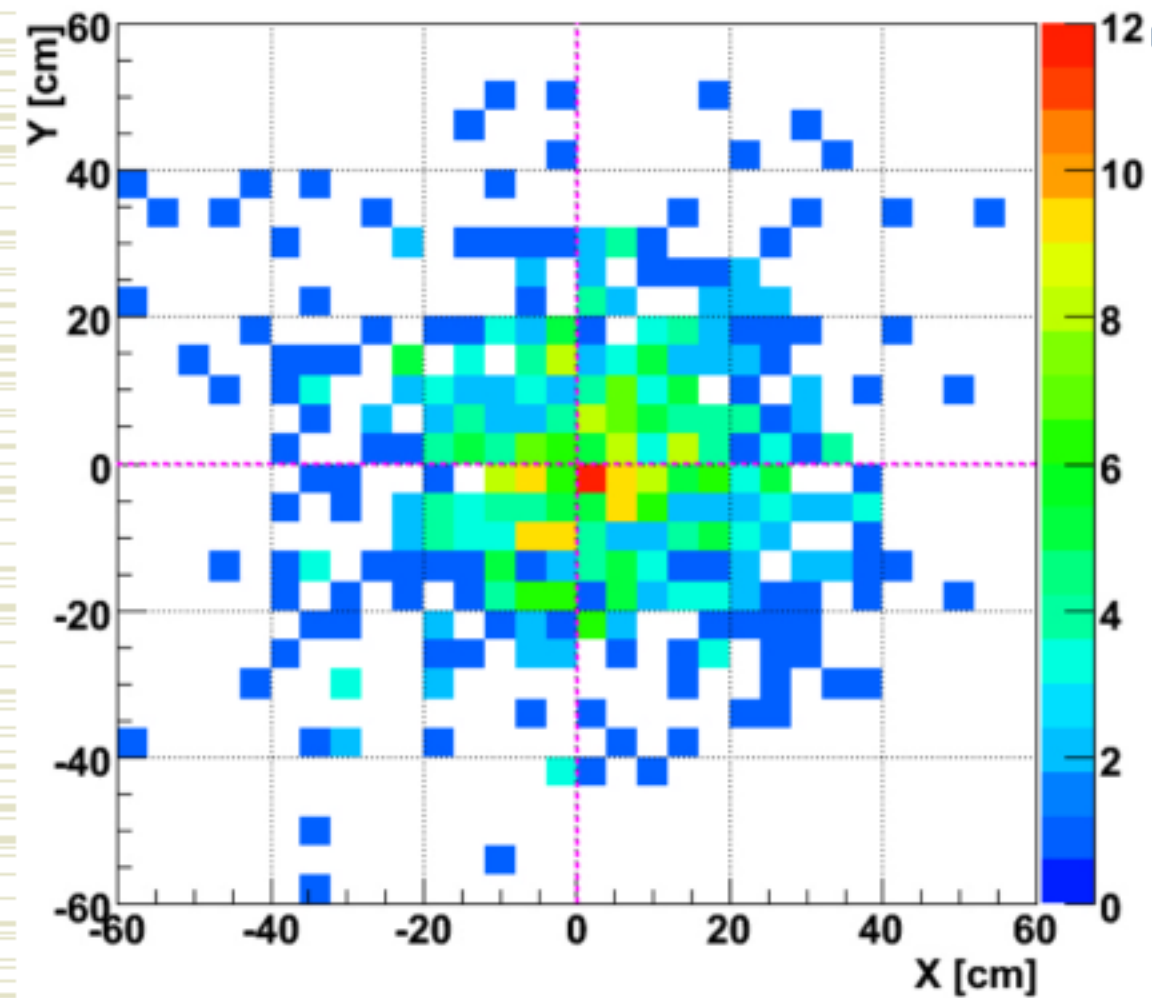
Sub-MeV γ -ray Imaging Loaded-on-balloon Experiment for cosmic diffuse gamma-ray



- Energy range :
100keV ~ 1MeV
- TPC : $10 \times 10 \times 15\text{cm}^3$
- GSO : 3×3PMTs@bottom
 $4 \times (3 \times 2)$ PMTs@side
33 PMTs

2006年度の放球を
目指して試験中

MeV- γ Imaging



- Src : ^{137}Cs (662keV)
- window-src間 : ~40cm
- 580~700keVでimaging

まとめ

- ✓ 気球実験に向け、システムを再構築
- ✓ Xe 80% + Ar 18% + C₂H₆ 2% (重量比)
 - gain ~30000 (μ PIC 3000 × GEM 10)で動作
 - drift速度 : 2.5 cm/ μ sec @ 400V/cm
- ✓ 気球搭載用TPC読み出し回路/HV systemを開発
- ✓ 気球システムでのMeV Imagingを確認

- ◆ 気球搭載型MeVカメラの詳しい性能評価
- ◆ 気球システムの環境試験 (上野 28pTF11)